

## О РЕШЕНИИ УРАВНЕНИЙ ПЛАСТИЧЕСКОГО ТЕЧЕНИЯ ПРИ ОСЕСИММЕТРИЧНОЙ ДЕФОРМАЦИИ

В работах [1–3] приведены уравнения, описывающие деформацию идеальной жесткопластической среды в криволинейных координатах. В [4] показано, что при плоской деформации существуют простые решения данных уравнений, причем напряжения зависят только от метрической функции координат.

В данной работе рассмотрены уравнения, описывающие объемную деформацию с осевой симметрией. Такие виды деформации часто используют в процессах обработки металлов: прессовании, ковке, волочении.

При деформации с осевой симметрией можно ввести декартовы координаты  $x$ ,  $y$  и криволинейные ортогональные координаты  $\alpha$ ,  $\beta$  в меридиональной плоскости, а третью координату  $\gamma$  определить как угол поворота данной плоскости, проходящей через ось  $y$ , относительно плоскости  $x$ ,  $y$  (фиг. 1). Обозначим декартовы координаты  $x_0$ ,  $y_0$ ,  $z_0$  как функции величин  $x$ ,  $y$ ,  $\gamma$ , и произвольная точка  $A$  будет иметь координаты равные длиnam отрезков  $OB$ ,  $OC$  и  $OD$  (фиг. 1):

$$x_0 = x(\alpha, \beta) \cos \gamma, \quad y = y_0, \quad z_0 = x(\alpha, \beta) \sin \gamma \quad (1)$$

Тогда криволинейные координаты  $\alpha$ ,  $\beta$ ,  $\gamma$  определяют положение точки  $A$ , а коэффициенты Ламе равны

$$H_{10} = \sqrt{x_{0,\alpha}^2 + y_{0,\alpha}^2 + z_{0,\alpha}^2} = \sqrt{x_{,\alpha}^2 + y_{,\alpha}^2} = H_1$$

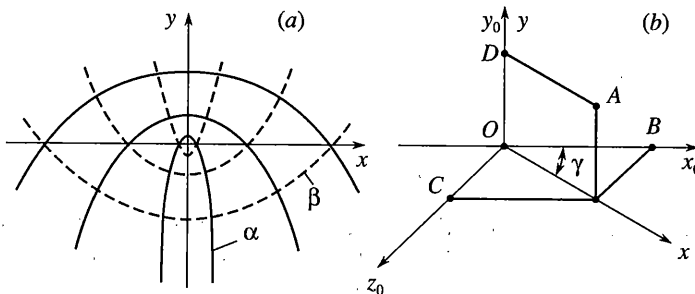
$$H_{20} = \sqrt{x_{0,\beta}^2 + y_{0,\beta}^2 + z_{0,\beta}^2} = \sqrt{x_{,\beta}^2 + y_{,\beta}^2} = H_2$$

$$H_{30} = \sqrt{x_{0,\gamma}^2 + y_{0,\gamma}^2 + z_{0,\gamma}^2} = x(\alpha, \beta)$$

где  $H_1$  и  $H_2$  – коэффициенты Ламе для двумерной системы координат  $\alpha$ ,  $\beta$ , причем величина  $H_{30}$  (третий из коэффициентов Ламе) равна координате  $x$ .

Такие координаты можно использовать для осесимметричных задач, если  $\alpha(x) = \alpha(-x)$ ,  $\beta(x) = \beta(-x)$ , причем условия ортогональности [5] выполнены. Коэффициенты Ламе должны удовлетворять шести уравнениям связности [5, 6], а для задач с осевой симметрией остаются четыре уравнения:

$$\begin{aligned} \frac{\partial}{\partial \alpha} \left( \frac{1}{H_1} H_{2,\alpha} \right) + \frac{\partial}{\partial \beta} \left( \frac{1}{H_2} H_{1,\beta} \right) &= 0 \\ \frac{\partial}{\partial \alpha} \left( \frac{1}{H_1} H_{3,\alpha} \right) + \frac{1}{H_2^2} H_{1,\beta} H_{3,\beta} &= 0 \\ \frac{\partial}{\partial \beta} \left( \frac{1}{H_2} H_{3,\beta} \right) + \frac{1}{H_1^2} H_{2,\alpha} H_{3,\alpha} &= 0 \\ H_{3,\alpha\beta} &= \frac{1}{H_1} H_{1,\beta} H_{3,\alpha} + \frac{1}{H_2} H_{2,\alpha} H_{3,\beta} \end{aligned} \quad (2)$$



Фиг. 1

Для плоской деформации при  $H_3 = 1$  из этой системы остается только первое уравнение, которое удовлетворено при введении метрической функции  $\Phi(\alpha, \beta)$  [4], определенной формулами

$$\frac{1}{H_1} H_{2,\alpha} = \Phi_{,\beta}; \quad \frac{1}{H_2} H_{1,\beta} = -\Phi_{,\alpha} \quad (3)$$

При осевой симметрии все условия связности (четыре уравнения (2)) выполнены, если принять дополнительно к (3):

$$\frac{1}{H_1} H_{3,\alpha} = \cos \Phi, \quad \frac{1}{H_2} H_{3,\beta} = -\sin \Phi \quad (4)$$

Используя условия ортогональности, легко показать, что

$$\left( \frac{1}{H_1} H_{3,\alpha} \right)^2 + \left( \frac{1}{H_2} H_{3,\beta} \right)^2 = 1$$

Уравнения (3) и (4) можно записать, используя символы Кристоффеля [6]:  $\Phi_{,\alpha} = -\Gamma_{22}^1$ ,  $\Phi_{,\beta} = \Gamma_{21}^1$ ,  $\cos \Phi = \Gamma_{11}^3$ ,  $\sin \Phi = -\Gamma_{22}^3$ . При плоской деформации к функции  $\Phi$  можно добавить произвольную постоянную  $c_0$ , но для осесимметричной деформации это будет допустимым не всегда.

Легко показать, что для декартовых, полярных, параболических или гиперболических координат  $c_0 = 0$ . Однако, для логарифмических спиралей [4]  $\Phi = c_0 + 0.5 \ln(\alpha/\beta)$ ,  $c_0 = -\pi/4$ .

Для циклоид  $\Phi = 0.25(\beta - \alpha) + 0.25\pi$ ; а для биполярных координат

$$\Phi = c_0 + 2 \operatorname{arctg} \left[ \frac{(1 + \operatorname{ch} \beta)}{\operatorname{sh} \beta} \operatorname{tg}(0.5\alpha) \right], \quad c_0 = \frac{\pi}{2}$$

Поскольку в формулах (4) приведены периодические функции  $\sin \Phi$  и  $\cos \Phi$ , то допустимо изменение  $\Phi$  на величины, кратные  $2\pi$ .

При осесимметричной деформации уравнения движения имеют вид

$$\begin{aligned} \sigma_{\alpha,\alpha} + \frac{H_1}{H_2} \tau_{\alpha\beta,\beta} + \tau_{\alpha\beta} \left( \frac{2H_{1,\beta}}{H_2} + \frac{H_1 H_{3,\beta}}{H_2 H_3} \right) + (\sigma_\alpha - \sigma_\beta) \frac{\partial \ln H_2}{\partial \alpha} - (\sigma_\alpha - \sigma_\gamma) \frac{\partial \ln H_3}{\partial \alpha} &= \rho \Phi_1 \\ \sigma_{\beta,\beta} + \frac{H_2}{H_1} \tau_{\alpha\beta,\alpha} + \tau_{\alpha\beta} \left( \frac{2H_{2,\alpha}}{H_1} + \frac{H_2 H_{3,\alpha}}{H_1 H_3} \right) + (\sigma_\beta - \sigma_\alpha) \frac{\partial \ln H_1}{\partial \beta} + (\sigma_\beta - \sigma_\gamma) \frac{\partial \ln H_3}{\partial \beta} &= \rho \Phi_2 \end{aligned} \quad (5)$$

$$\Phi_1 = H_1 v_{\alpha,\tau} + v_\alpha v_{\alpha,\alpha} + v_\beta \frac{H_1}{H_2} v_{\alpha,\beta} - \frac{v_\beta^2}{H_2} H_{2,\alpha} + \frac{v_\alpha v_\beta}{H_2} H_{1,\beta}$$

где  $\sigma_\alpha, \sigma_\beta, \sigma_\gamma, \tau_{\alpha\beta}$  – компоненты тензора напряжений;  $\rho$  – плотность материала,  $v_\alpha, v_\beta$  – компоненты вектора скорости течения,  $\tau$  – время;  $\Phi_2$  получаем из  $\Phi_1$  заменами  $\alpha$  на  $\beta$ ,  $v_\alpha$  на  $v_\beta$ ,  $H_1$  на  $H_2$  и наоборот.

Для статических задач  $\Phi_1 = \Phi_2 = 0$ . Если удается найти систему напряжений, удовлетворяющих уравнениям равновесия, условию текучести и краевым условиям, то они в ряде случаев определяют нижнюю границу усилий, что полезно для многих задач, имеющих значение для технологий обработки металлов давлением.

Условие текучести будет выполнено, если записать напряжение в виде

$$\begin{aligned}\sigma_\alpha &= f_0 - k \cos \omega \cos 2f, \quad \sigma_\beta = f_0 + k \cos \omega \cos 2f \\ \sigma_\gamma &= f_0 + k \sqrt{3} \sin \omega \cos 2f, \quad \tau_{\alpha\beta} = k \sin 2f\end{aligned}\tag{6}$$

где  $f_0, \omega, f$  – функции координат  $\alpha, \beta$ ; а  $k$  – предел текучести при сдвиге. После подстановки в (5) получим уравнения равновесия

$$f_{0,\alpha} + k \varphi_1 \cos 2f + k \varphi_2 \sin 2f = 0$$

$$f_{0,\beta} + k \varphi_3 \cos 2f + k \varphi_4 \sin 2f = 0$$

$$\varphi_1 = \omega_{,\alpha} \sin \omega + \frac{2H_1}{H_2} (f_{,\beta} - \Phi_{,\beta} \cos \omega) - (\cos \omega + \sqrt{3} \sin \omega) \frac{\partial \ln H_3}{\partial \alpha}$$

$$\varphi_2 = 2(f_{,\alpha} - \Phi_{,\alpha} \cos \omega) + \frac{H_1}{H_2} \frac{\partial \ln H_3}{\partial \beta}$$

$$\varphi_3 = -\omega_{,\beta} \sin \omega + \frac{2H_2}{H_1} (f_{,\alpha} - \Phi_{,\alpha} \cos \omega) + (\cos \omega - \sqrt{3} \sin \omega) \frac{\partial \ln H_3}{\partial \beta}$$

$$\varphi_4 = 2(\Phi_{,\beta} - f_{,\beta} \cos \omega) + \frac{H_2}{H_1} \frac{\partial \ln H_3}{\partial \alpha}$$

После дифференцирования первого уравнения по  $\beta$ , а второго по  $\alpha$  получим одно уравнение, содержащее функции  $\omega(\alpha, \beta)$  и  $f(\alpha, \beta)$ :

$$(\varphi_{1,\beta} - \varphi_{3,\alpha} + 2\varphi_2 f_{,\beta} - 2\varphi_4 f_{,\alpha}) \cos 2f + (\varphi_{2,\beta} - \varphi_{4,\alpha} + 2\varphi_3 f_{,\alpha} - 2\varphi_1 f_{,\beta}) \sin 2f = 0\tag{7}$$

Отметим, что существует простое решение (7):  $\omega = 0, f = \Phi(\alpha, \beta)$ , при котором уравнения равновесия

$$f_{0,\alpha} - k \frac{\partial \ln H_3}{\partial \alpha} = 0, \quad f_{0,\beta} - k \frac{\partial \ln H_3}{\partial \beta} = 0$$

имеют простое решение  $f_0 = C_1 + k \ln H_3$  (для плоской деформации аналогичное решение  $f_0 = \text{const}$  [4]);  $C_1$  – постоянная, определяемая краевыми условиями. Это определяет статически допустимую систему напряжений:

$$\begin{aligned}\sigma_\alpha &= C_1 + k \ln H_3 - k \cos 2\Phi, \quad \tau_{\alpha\beta} = k \sin 2\Phi \\ \sigma_\beta &= C_1 + k \ln H_3 + k \cos 2\Phi, \quad \sigma_\gamma = C_1 + k \ln H_3\end{aligned}\tag{8}$$

или с учетом формул (4):

$$\sigma_\alpha = C_1 + k \ln x - k \left( \frac{x_\alpha^2}{H_1^2} - \frac{x_\beta^2}{H_2^2} \right), \quad \tau_{\alpha\beta} = -\frac{2kx_\alpha x_\beta}{H_1 H_2}$$

$$\sigma_\beta = C_1 + k \ln x + k \left( \frac{x_\alpha^2}{H_1^2} - \frac{x_\beta^2}{H_2^2} \right), \quad \sigma_\gamma = C_1 + k \ln x$$

Во многих задачах, имеющих значение для практики, можно выбором постоянной  $C_1$  добиться удовлетворительного согласования напряжений с краевыми условиями и, выбрав криволинейные ортогональные координаты  $\alpha, \beta$  в плоскости  $x, y$ , просто получить систему статически допустимых напряжений согласно (8).

Если принять  $\tau_{\alpha\beta} = f = 0$ , то  $\sigma_\alpha, \sigma_\beta, \sigma_\gamma$  – главные напряжения и коэффициент Лоде [2] равен

$$\mu = \frac{2\sigma_\alpha - \sigma_\beta - \sigma_\gamma}{\sigma_\beta - \sigma_\gamma} = -\sqrt{3} \operatorname{tg} \omega, \quad \sigma_\alpha > \sigma_\beta > \sigma_\gamma$$

В этом случае  $\omega$  – угол, определяющий ориентацию вектора напряжений в пространстве главных напряжений.

Вместо уравнения (7) имеем при  $f = 0$  одно уравнение для функции  $\Phi$ :  $\Phi_{1,\beta} - \Phi_{3,\alpha} = 0$ .

В любой системе ортогональных координат в этом случае решением является  $\omega = \pi/2$ ,  $\sigma_\alpha = \sigma_\beta = C_1 - k\sqrt{3} \ln H_3$ ,  $\sigma_\gamma = \sigma_\alpha - k\sqrt{3}$ .

Если система координат такова, что величину  $(H_1 H_2 H_3)$  можно представить как произведение функций  $\alpha$  и  $\beta$ , например,  $H_1 H_2 H_3 = \psi_1(\alpha)\psi_2(\beta)$ , то уравнение равновесия выполнено при любой функции  $\omega = \operatorname{const}$ . Так при  $\omega = -\pi/6$ :

$$\sigma_\alpha = C_1 - k\sqrt{3} \ln \left[ \frac{H_1 H_3}{\psi_1(\alpha)} \right] - 0.5k\sqrt{3}$$

$$\sigma_\beta = \sigma_\alpha + k\sqrt{3}, \quad \sigma_\gamma = \sigma_\alpha$$

например, в полярных координатах  $\psi_1(\alpha) = \alpha^2$ ,  $\psi_2(\beta) = \cos \beta$ :

$$\sigma_\alpha = \sigma_\gamma = C_1 - 0.5k\sqrt{3} + k\sqrt{3} \ln (\alpha / \cos \beta)$$

Если  $\sigma_\alpha = \sigma_\gamma$  при  $\omega = \operatorname{const} = -\pi/6 \pm 2\pi$ , то при  $\omega = \pi/6 \pm 2\pi$   $\sigma_\beta = \sigma_\gamma$

Получить точное решение можно только в случае, когда напряжениям соответствует поле скоростей. Введя функцию тока  $F$  согласно формулам  $v_\alpha = F_{,\beta} / (H_2 H_3)$ ,  $v_\beta = -F_{,\alpha} / (H_1 H_3)$ , можно определить компоненты тензора скорости деформации:

$$\varepsilon_\alpha = \frac{1}{H_1 H_2 H_3} \left[ F_{,\alpha\beta} - F_{,\alpha} \frac{\partial \ln H_1}{\partial \beta} - F_{,\beta} \frac{\partial}{\partial \alpha} \ln (H_2 H_3) \right]$$

$$\varepsilon_\beta = \frac{1}{H_1 H_2 H_3} \left[ -F_{,\alpha\beta} + F_{,\alpha} \frac{\partial}{\partial \beta} \ln (H_1 H_3) + F_{,\beta} \frac{\partial \ln H_2}{\partial \alpha} \right]$$

$$\varepsilon_\gamma = \frac{1}{H_1 H_2 H_3} \left( F_{,\beta} \frac{\partial \ln H_3}{\partial \alpha} - F_{,\alpha} \frac{\partial \ln H_3}{\partial \beta} \right)$$

$$\gamma_{\alpha\beta} = \frac{H_1}{H_2} \frac{\partial}{\partial \beta} \left( \frac{F_{,\beta}}{H_1 H_2 H_3} \right) - \frac{H_2}{H_1} \frac{\partial}{\partial \alpha} \left( \frac{F_{,\alpha}}{H_1 H_2 H_3} \right)$$

обеспечивающие выполнение условия несжимаемости. Два соотношения Леви – Мизеса определяют в этом случае  $\omega$  и  $f$ :

$$\frac{\varepsilon_\beta - \varepsilon_\gamma}{\varepsilon_\alpha - \varepsilon_\beta} = \frac{\sigma_\beta - \sigma_\gamma}{\sigma_\alpha - \sigma_\beta} = \frac{1}{2} (\sqrt{3} \operatorname{tg} \omega - 1), \quad \operatorname{tg} \omega = \frac{\sqrt{3} \varepsilon_\gamma}{\varepsilon_\beta - \varepsilon_\alpha}$$

$$\frac{\gamma_{\alpha\beta}}{\varepsilon_\alpha - \varepsilon_\beta} = \frac{2\tau_{\alpha\beta}}{\sigma_\alpha - \sigma_\beta} = -\frac{\operatorname{tg} 2f}{\cos \omega}, \quad f = -\frac{1}{2} \operatorname{arctg} \left[ \frac{\gamma_{\alpha\beta} \cos \omega}{(\varepsilon_\beta - \varepsilon_\alpha)} \right]$$

Если принять, что в некоторой системе координат существует решение при  $\tau_{\alpha\beta} = k$ ,  $f = \pi/4$ , то  $\sigma_\alpha = \sigma_\beta = \sigma_\gamma = f_0$  и из уравнения равновесия (7) получаем, что необходимо выполнение уравнения

$$4 \frac{\partial^2 \Phi}{\partial \alpha \partial \beta} - \frac{H_1}{H_2} \frac{\partial^2 \ln x}{\partial \beta^2} + \frac{H_2}{H_1} \frac{\partial^2 \ln x}{\partial \alpha^2} + \frac{\partial \ln x}{\partial \alpha} \frac{\partial}{\partial \alpha} \left( \frac{H_2}{H_1} \right) - \frac{\partial \ln x}{\partial \beta} \frac{\partial}{\partial \beta} \left( \frac{H_1}{H_2} \right) = 0 \quad (9)$$

Аналогичное уравнение при плоской деформации имеет вид [4]:

$$\frac{\partial^2 \Phi}{\partial \alpha \partial \beta} = 0 \quad (10)$$

При плоской деформации условие  $\varepsilon_\alpha = -\varepsilon_\beta = 0$  определяет достаточно широкий класс функций тока. Но при осесимметричной деформации, если выполнено еще дополнительное условие  $\varepsilon_\gamma = 0$ , то

$$H_1 H_2 H_3 \varepsilon_\gamma = F_{,\beta} \frac{\partial \ln H_3}{\partial \alpha} - F_{,\alpha} \frac{\partial \ln H_3}{\partial \beta} = 0$$

и это определяет решение

$$F = F(H_3) = F(x) \quad (11)$$

С учетом формулы (11) получим

$$\varepsilon_\alpha = -\varepsilon_\beta = \frac{\sin(2\Phi)}{2x} \left( -F_{,xx} + \frac{1}{x} F_{,x} \right)$$

а поскольку  $\varepsilon_\alpha = 0$ , то  $F = cx^2$  при  $\sin 2\Phi \neq 0$ ;  $c$  – постоянная.

Это существенно сужает класс допустимых функций  $F$ , однако главное не в этом, а в том, что из условия (11) получим при  $\tau_{\alpha\beta} = k$ ,  $\varepsilon_\gamma = 0$  компоненту скорости деформации сдвига

$$\gamma_{\alpha\beta} \equiv \frac{\cos(2\Phi)}{x} \left( -F_{,xx} + \frac{1}{x} F_{,x} \right)$$

которая при  $F = cx^2$  также равна нулю. Поскольку в этом случае все компоненты тензора скорости деформации равны нулю, такое пластическое течение невозможно.

Если  $\Phi = 0$  и принять, что реализуется течение в направлении оси  $y$ , то легко показать, что не существует функции  $f_0$ , удовлетворяющей при этом уравнениям равновесия (при плоской деформации такое решение есть). Осесимметричная деформация суще-

ственno отличается от плоской. Для осесимметричной деформации при  $\epsilon_\alpha = \epsilon_\beta = \epsilon_\gamma = 0$  нет такого решения, при котором в меридиональной плоскости существовала бы система взаимно ортогональных линий, вдоль которых выполнялось бы условие  $\tau_{\alpha\beta} = k$ . Приняв эти линии за координатные, получим  $\epsilon_\alpha = \epsilon_\beta = \epsilon_\gamma = \gamma_{\alpha\beta} = 0$ .

В некоторых случаях можно найти точные решения, приняв координатные линии за линии тока. В этом случае, если  $v_\beta = 0, F_{,\alpha} = 0$ , то

$$\omega = \arctg[\sqrt{3}(1+2\phi_0)^{-1}], \quad \phi_0 = \frac{H_{2,\alpha}H_3}{H_2H_{3,\alpha}}$$

$$\operatorname{tg}(2f) = \frac{H_1^2 H_3^2}{2F_{,\beta}H_{3,\alpha}}(1+\phi_0+\phi_0^2)^{-0.5} \frac{\partial}{\partial \beta} \left( \frac{F_{,\beta}}{H_1 H_2 H_3} \right)$$

Так для биполярных координат  $\phi_0 = 1, \omega = \pi/6$ . В полярных координатах  $\phi_0 = 1, \omega = \pi/6, \sigma_\beta = \sigma_\gamma$

Если удается найти некоторую функцию  $\sigma_0$ , такую что  $\partial\sigma_0/\partial\alpha = \rho\Phi_1, \partial\sigma_0/\partial\beta = \rho\Phi_2$ , то добавив  $\sigma_0$  к  $\sigma_\alpha, \sigma_\beta$  и  $\sigma_\gamma$  можно получить решение динамической задачи.

Для полярных координат получено решение

$$v_\alpha = -v_0 \frac{\alpha^2}{\alpha_0^2}; \quad v_\beta = v_\gamma = 0, \quad \epsilon_\alpha = \frac{2v_0\alpha_0^2}{\alpha^3}, \quad \epsilon_\beta = \epsilon_\gamma = -\frac{v_0\alpha_0^2}{\alpha^3}, \quad \tau_{\alpha\beta} = 0$$

$$\sigma_\alpha = C_1 - k\sqrt{3} \ln\left(\frac{\alpha}{\alpha_0}\right) - 0.5\rho v_0^2 \left(1 - \frac{\alpha_0^4}{\alpha^4}\right), \quad \sigma_\beta = \sigma_\gamma = \sigma_\alpha - k\sqrt{3}$$

где  $v_0$  – заданная величина скорости на поверхности  $\alpha_0, \sigma_\alpha = C_1$ .

Если  $C_1 = 0$ , то на некоторой граничной поверхности  $\alpha = \alpha_1$  должно действовать давление

$$p = k\sqrt{3} \left[ \ln\left(\frac{\alpha_1}{\alpha_0}\right) + \frac{\rho v_0^2}{2k\sqrt{3}} \left(1 - \frac{\alpha_0^4}{\alpha_1^4}\right) \right]$$

Например, при  $v_0 = 100$  м/с,  $k = 250$  мПа,  $\rho = 7800$  кг/м<sup>3</sup>,  $\alpha_1/\alpha_0 = 2, p = 0.774k\sqrt{3} = 335$  мПа,  $\rho v_0^2/(2k\sqrt{3}) = 0.09$ , т.е. влияние динамики в этом случае незначительно (около 13%).

Приведем далее пример расчета в координатах:  $\alpha = y^2 - x^2/2, \beta = x^2y$ , приняв  $\alpha$ -линии, (при  $\beta = \text{const}$ ) за линии тока. Для этих координат

$$\Phi = \arctg\left(\frac{2y}{x}\right) + \pi, \quad H_1 = \frac{1}{\sqrt{d}}, \quad H_2 = \frac{1}{x\sqrt{d}}$$

$$F_{,\alpha} = v_\beta = 0, \quad v_\alpha = F_{,\beta}\sqrt{d}$$

При  $F_{,\beta} = \text{const}$  можно найти

$$\epsilon_\alpha = \frac{F_{,\beta}}{d}(8y^2 - x^2), \quad \epsilon_\beta = \frac{2F_{,\beta}}{d}(x^2 - 2y^2)$$

$$\epsilon_\gamma = -F_{,\beta}, \quad \gamma_{\alpha\beta} = \frac{12xy}{d}, \quad d = x^2 + 4y^2$$

$$\cos \omega = \frac{\sqrt{3}}{2} (x^2 - 4y^2) (x^4 - 4x^2y^2 + 16y^4)^{-0.5}$$

$$f = 1/2 \arcsin\left(\frac{2\sqrt{3}xy}{d}\right)$$

и определено точное решение

$$\tau_{\alpha\beta} = \frac{2k\sqrt{3}}{d} xy, \quad \sigma_\alpha = k\sqrt{3} \left[ C_1 + \frac{4y^2}{x^2 + 4y^2} + \frac{a}{c^2} (x^2 + 4y^2) \right]$$

$$\sigma_\beta = k\sqrt{3} \left[ C_1 + \frac{x^2}{x^2 + 4y^2} + \frac{a}{c^2} (x^2 + 4y^2) \right]$$

$$\sigma_\gamma = k\sqrt{3} \left[ C_1 + \frac{a}{c^2} (x^2 + 4y^2) \right], \quad v_\alpha = \frac{v_0 c}{\sqrt{x^2 + 4y^2}}$$

$$a = \frac{\rho v_0^2}{2k\sqrt{3}}$$

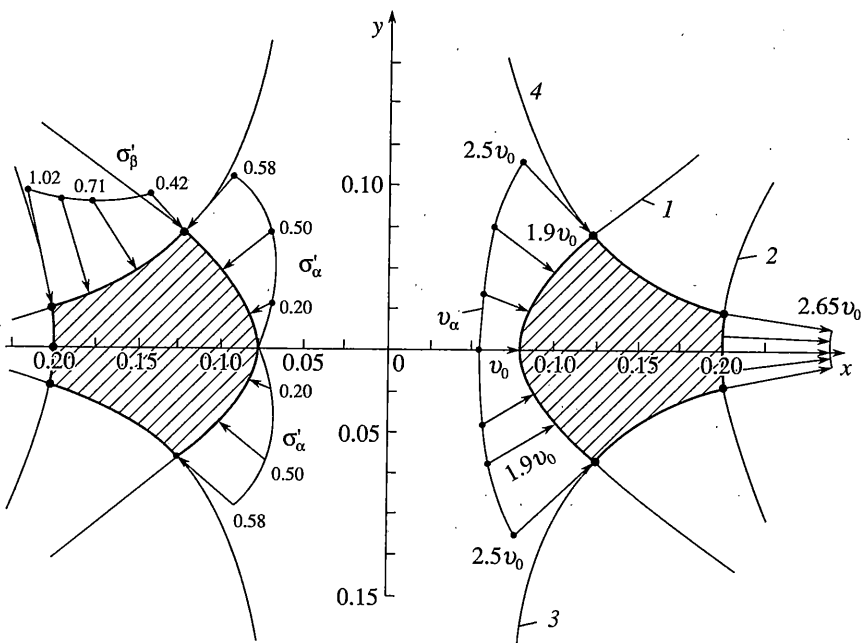
где  $a$  – безразмерная величина характеризующая влияние динамики,  $v_0$  – величина скорости при  $y = 0, x = c$ ;  $C_1$  – постоянная ( $x, y$  – функции  $\alpha, \beta$ ).

На фиг. 2 заштриховано сечение кольца ограниченное координатными линиями  $\alpha = -3 \cdot 10^{-3} \text{ м}^2$ ,  $\alpha = -2 \cdot 10^{-2} \text{ м}^2$  и  $\beta = \pm 10^{-3} \text{ м}^2$ .

На фиг. 2 линии 1, 2 соответствуют величинам  $\alpha = \text{const} = -3 \cdot 10^{-3} \text{ м}^2$  и  $\alpha = -2 \cdot 10^{-2} \text{ м}^2$ , а линии 3, 4 – величинам  $\beta = -10^{-3} \text{ м}^3$  и  $\beta = 10^{-3} \text{ м}^3$ .

Кольцо деформируется под действием внутреннего давления. В правой части сечения показаны эпюры скоростей  $v_\alpha$  на граничных поверхностях (линии  $\beta = \text{const}$  являются линиями тока). Вдоль линии  $\alpha = -3 \cdot 10^{-3} \text{ м}^2$  скорость минимальна в центре сечения кольца  $v_\alpha = v_0$ , а на поверхности  $\beta = \pm 10^{-3} \text{ м}^3$  имеем  $v_\alpha = 2.5v_0$ . В левой части фиг. 2 приведены эпюры безразмерных величин: напряжения  $\sigma'_\alpha = \sigma_\alpha/(k\sqrt{3})$  на поверхности  $\alpha = -3 \cdot 10^{-3} \text{ м}^2$  и  $\sigma'_\beta = \sigma_\beta/k\sqrt{3}$  на поверхности  $\beta = 10^{-3} \text{ м}^3$ . Постоянная  $C_1$  определена из условия равенства нулю суммарного усилия на граничной поверхности  $\alpha = -2 \cdot 10^{-2} \text{ м}^2$ . Расчеты при  $\rho = 7800 \text{ кг}/\text{м}^3$ ,  $k = 120 \text{ МПа}$ ,  $v_0 = 40 \text{ м}/\text{с}$  определяют величину  $a = 0.03$ . Отметим, что при растяжении кольца в матрице, ограниченной поверхностью, которая образована вращением вокруг оси  $y$  линий  $x^2y = \beta = \text{const}$ , компонента скорости деформации  $\epsilon_y$  и интенсивность тензора скорости деформации являются величинами постоянными по объему деформируемого тела (равными  $v_0/c$  и  $2\sqrt{3}v_0/c$  соответственно). В то же время при растяжении внутренним давлением кольца постоянной толщины деформация значительно выше у его внутренней поверхности. Это может иметь значение для обеспечения однородности свойств и структуры деформируемого тела.

Метрическая функция  $\Phi(\alpha, \beta)$  является существенной характеристикой координатных систем, а использование формул (3), (4) обеспечивает выполнение всех условий связности (2). Можно задать не координаты  $\alpha, \beta$  в виде функций  $\alpha(x, y)$ ,  $\beta(x, y)$  (или  $x(\alpha, \beta)$ ;  $y(\alpha, \beta)$ ), а метрическую функцию  $\Phi(\alpha, \beta)$ , из которой, следуя ниже описанной схеме, находятся все параметры координатной системы.



Фиг. 2

Из формул (3) легко получить уравнения

$$H_{1,\alpha\beta} - H_{1,\beta} \frac{\Phi_{,\alpha\alpha}}{\Phi_{,\alpha}} + H_1 \Phi_{,\alpha} \Phi_{,\beta} = 0, \quad H_2 = -\frac{H_{1,\beta}}{\Phi_{,\alpha}} \quad (12)$$

а после определения  $H_1$  и  $H_2$ , используя формулы (4), определить  $x_\alpha$  и  $x_\beta$ . Далее, зная  $H_1$  и  $x_\alpha$ ,  $H_2$  и  $x_\beta$ , определим  $y_\alpha$  и  $y_\beta$  и, наконец, функции  $x(\alpha, \beta)$ ;  $y(\alpha, \beta)$ .

Частные производные  $x_\alpha$ ,  $y_\alpha$ ,  $x_\beta$ ,  $y_\beta$  связаны с помощью метрической функции формулами  $y_\alpha = x_\alpha \operatorname{tg} \Phi$ ;  $y_\beta = -x_\beta \operatorname{ctg} \Phi$ .

Поскольку число решений уравнений (12) бесконечно, то одной метрической функции могут соответствовать много координатных систем. В [4] показано, что для полярных координат  $\Phi = \beta$ . Но этой функции при  $\Phi_{,\alpha} = H_{1,\beta} = 0$  могут соответствовать и координаты

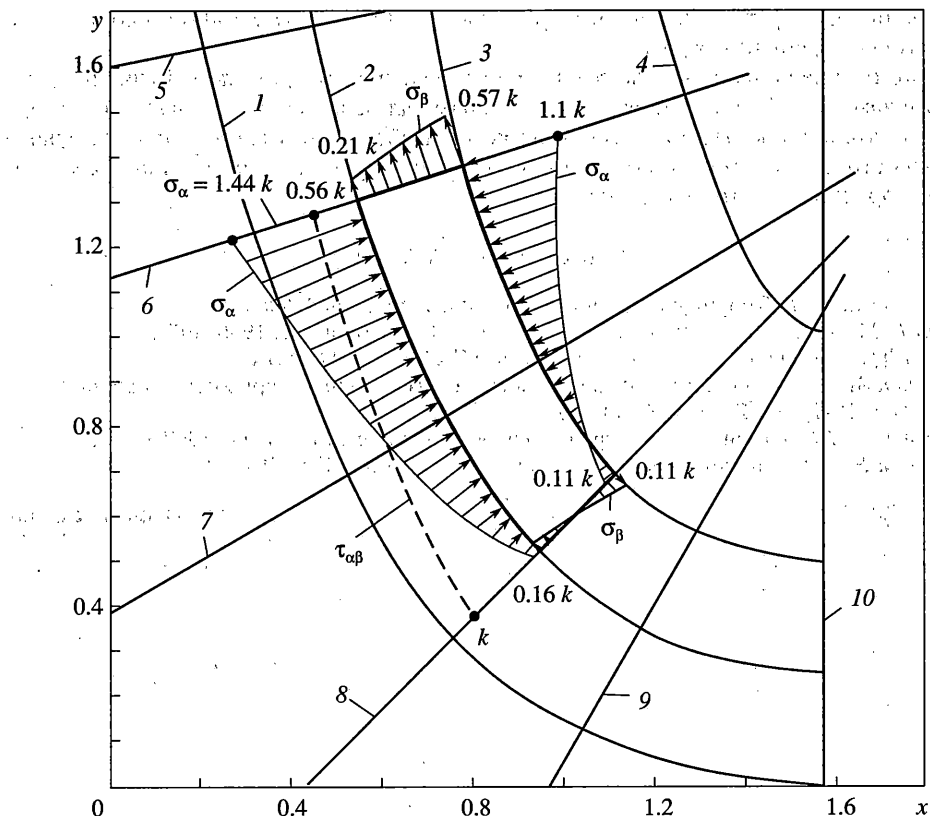
$$x = \alpha \cos \beta - \psi_0(\beta)$$

$$y = \alpha \sin \beta - \int \psi_0, \beta \operatorname{ctg} \beta d\beta$$

где  $\psi_0(\beta)$  – дифференцируемая функция  $\beta$ .

Коэффициенты Ламе следующие:  $H_1 = 1$ ,  $H_2 = \alpha - \psi_0, \beta / \sin \beta$  и если, например, принять  $\psi_0(\beta) = \beta$ , то получим

$$\begin{aligned} x &= \alpha \cos \beta + \beta \\ y &= \alpha \sin \beta - \ln |\sin \beta| \\ H_1 &= 1, \quad H_2 = \alpha - 1 / \sin \beta \end{aligned} \quad (13)$$



Фиг. 3

Эти координатные линии приведены на фиг. 3, причем линии 1, 2, 3 и 4 соответствуют значениям  $\alpha = 0, 0.25, 0.50$  и  $1.0$ ; а линии 5, 6, 7, 8, 9 и 10 значениям переменной  $\beta = 0.20, 0.30, 0.523, 0.785, 1.053$  и  $1.57$ .

В области, ограниченной координатами  $x < 3/2$ ,  $\beta < 1$  (где через каждую точку проходят две, взаимно перпендикулярных, координатные линии) приведены эпюры напряжений, построенных по формулам (8) для кольца, ограниченного поверхностями  $\alpha = 0.25$ ,  $\alpha = 0.50$  и  $\beta = 0.30$ ,  $\beta = 0.785 = \pi/4$ .

Схема соответствует волочению в криволинейной матрице, причем постоянная  $C_1$  в формулах (8) определена из условия равенства нулю суммарного усилия на участке линии  $\beta = \text{const} = \pi/4$  между линиями  $\alpha = 0.50$  и  $\alpha = 0.25$ .

Приведены эпюры нормальных напряжений  $\sigma_\alpha$  на поверхностях  $\alpha = \text{const}$ , а пунктиром на линии  $\alpha = 0.25$  приведена эпюра касательных напряжений  $\tau_{\alpha\beta}$ . Их величина значительна:  $\tau_{\alpha\beta}$  изменяется от  $0.56k$  при  $\beta = 0.30$  до  $\tau_{\alpha\beta} = k$  при  $\beta = \pi/4$ . На поверхности  $\beta = 0.30$  приведена эпюра напряжений  $\sigma_\beta$ , причем среднее напряжение волочения равно  $0.42k$ .

На фиг. 3 видно, что координатные линии (13) существенно отличаются от полярных координат, хотя у них одна и та же метрическая функция  $\Phi(\alpha, \beta) = \beta$ .

Одно из семейств координатных линий ( $\beta = \text{const}$ ) является прямыми, как и в полярных координатах, но они не все проходят через точку  $x = y = 0$ . Через эту точку проходит только линия  $\beta = 0.655$ .

При плоской деформации линии  $\alpha$ ,  $\beta$  на фиг. 3 могут быть линиями скольжения и применимы для решения ряда задач.

Использование криволинейных координат с введением метрической функции согласно формулам (3) и (4) может оказаться полезным для решения некоторых задач теории пластичности, а также гидродинамики. При этом обеспечивается выполнение уравнений связности, так что можно получить статически допустимые системы напряжений, а для некоторых задач – точные решения.

#### СПИСОК ЛИТЕРАТУРЫ

1. Соколовский В.В. Теория пластичности. М.: Высш. шк., 1969. 608 с.
2. Хилл Р. Математическая теория пластичности. М.: Гостехиздат, 1956. 407 с.
3. Ивлев Д.Д. Теория идеальной пластичности. М.: Наука, 1966. 231 с.
4. Бровман М.Я. О решении уравнений пластического течения в криволинейных координатах // Изв. РАН. МТТ. 2004. № 4. С. 87–98.
5. Ращевский П.К. Риманова геометрия и тензорный анализ. М.: Наука, 1967. 664 с.
6. Победря Б.Е. Лекции по тензорному анализу. М.: Изд-во МГУ, 1974. 206 с.

Тверь

Поступила в редакцию

12.11.2004